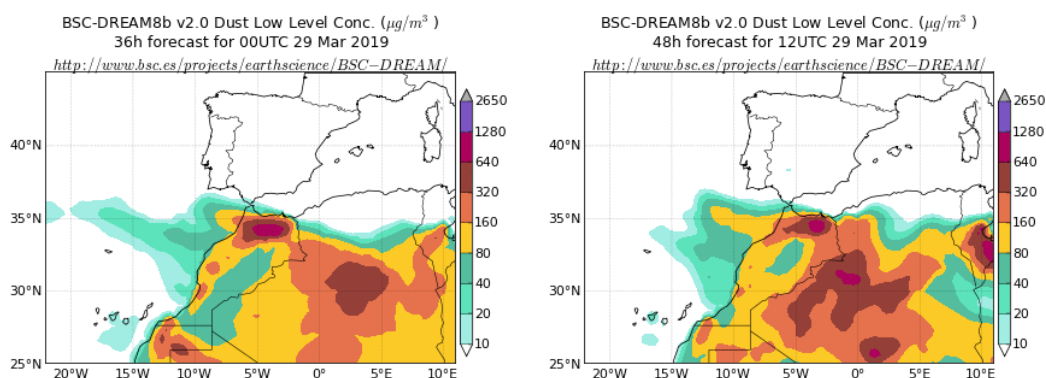


Predicción de intrusión de masas de aire africano sobre España para el día 29 de marzo de 2019

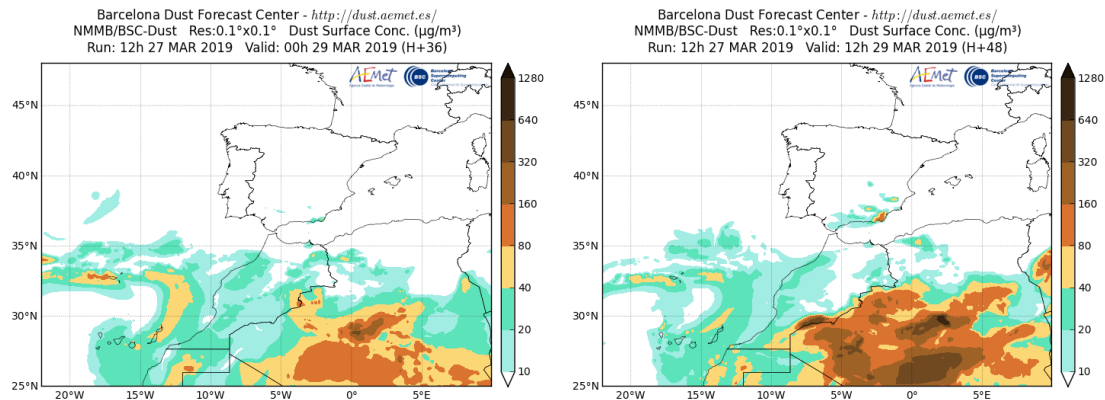
Los modelos consultados prevén la presencia de masas de aire africano sobre las islas Canarias y el sur de la Península para el día 29 de marzo. Estiman concentraciones de polvo en superficie en los rangos 10-80 $\mu\text{g}/\text{m}^3$ para las islas Canarias y 10-20 $\mu\text{g}/\text{m}^3$ para zonas costeras del sur de la Península. Según el modelo SKIRON también podría producirse depósito seco y húmedo de polvo sobre las islas Canarias y el sur de la Península a lo largo del día.

El modelo BSC-DREAM8b v2.0 prevé la presencia de masas de aire africano a nivel de superficie sobre las islas Canarias y la Península para el día 29 de marzo. Estima concentraciones de polvo en el rango 10-20 $\mu\text{g}/\text{m}^3$ para las islas Canarias y la costa sur de la Península.



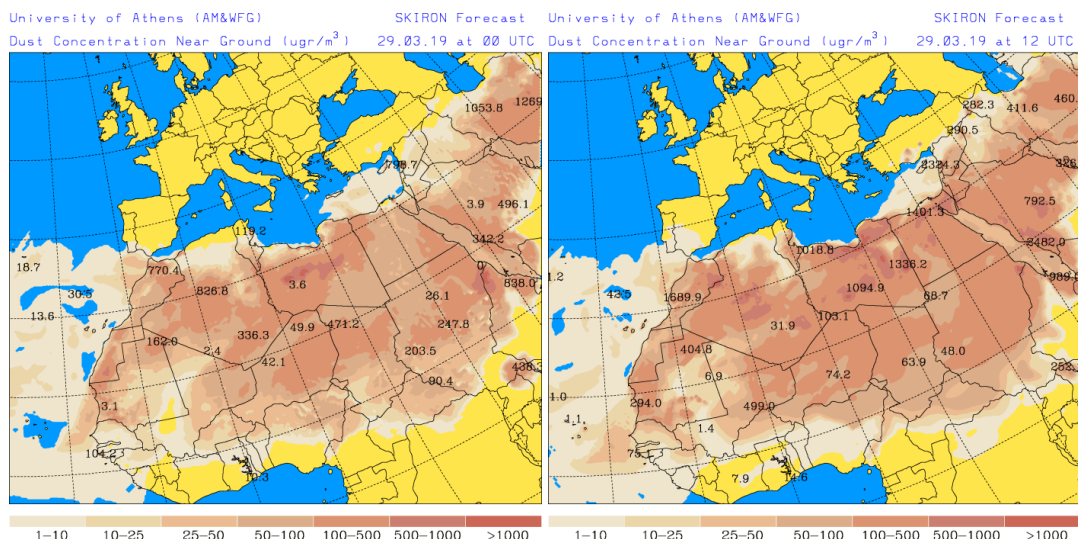
Concentración de polvo ($\mu\text{g}/\text{m}^3$) predicha por el modelo BSC-DREAM8b v2.0 para el día 29 de marzo de 2019 a las 00 UTC (izquierda) y a las 12 UTC (derecha). © Barcelona Supercomputing Center.

El modelo NMMB/BSC-Dust prevé también la presencia de masas de aire africano a nivel de superficie sobre las islas Canarias y la Península para el día 29 de marzo. Estima concentraciones de polvo en los rangos 10-160 $\mu\text{g}/\text{m}^3$ para el sureste de la Península, 10-80 $\mu\text{g}/\text{m}^3$ para el este peninsular y las islas Canarias, 10-40 $\mu\text{g}/\text{m}^3$ para el centro peninsular y 10-20 $\mu\text{g}/\text{m}^3$ para el suroeste. Las altas concentraciones estimadas para el sureste y este peninsular podrían estar relacionadas con procesos de resuspensión local.



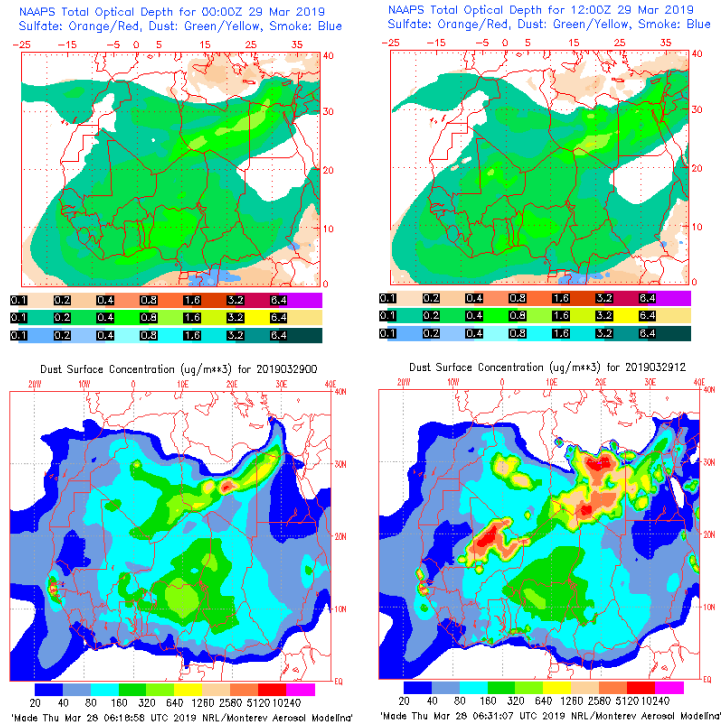
Concentración de polvo ($\mu\text{g}/\text{m}^3$) predicha por el modelo NMMB/BSC-Dust para el día 29 de marzo de 2019 de 2018 a las 00 UTC (izquierda) y a las 12 UTC (derecha). © Barcelona Dust Forecast Center

El modelo SKIRON prevé también la presencia de masas de aire africano sobre las islas Canarias y la Península para el día 29 de marzo. Estima concentraciones de polvo en superficie en los rangos $1\text{-}25 \mu\text{g}/\text{m}^3$ para el sureste de la Península y $1\text{-}50 \mu\text{g}/\text{m}^3$ para las islas Canarias.



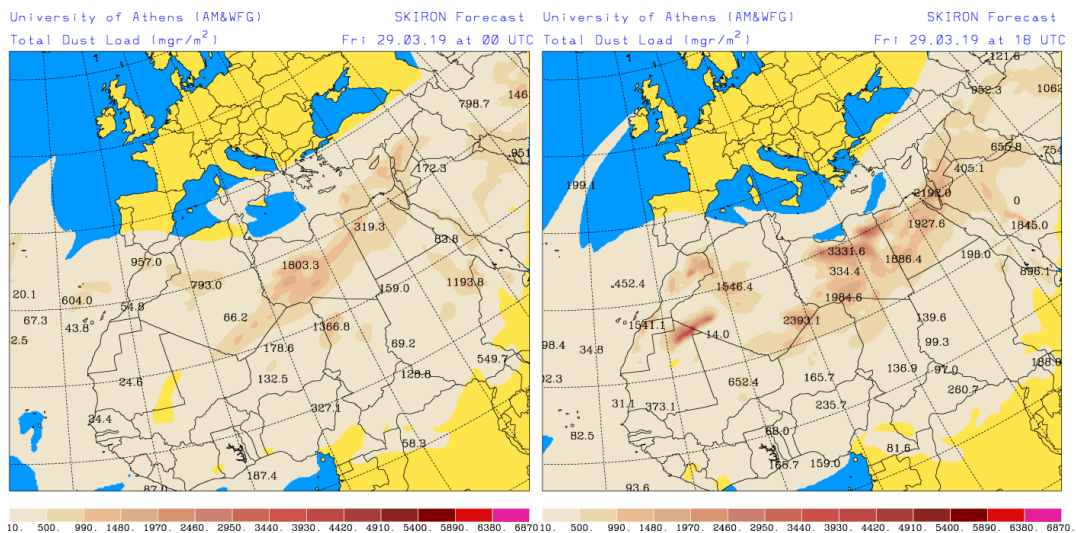
Concentración de polvo ($\mu\text{g}/\text{m}^3$) predicha por el modelo SKIRON para el día 29 de marzo de 2019 a las 00 UTC y a las 12 UTC © Universidad de Atenas.

El modelo NAAPs prevé también la presencia de masas de aire africano en superficie sobre las islas Canarias para el día 29 de marzo. Estima concentraciones de polvo en superficie en el rango $20\text{-}80 \mu\text{g}/\text{m}^3$. Este modelo no prevé concentraciones de polvo superiores a $20 \mu\text{g}/\text{m}^3$ sobre la Península.

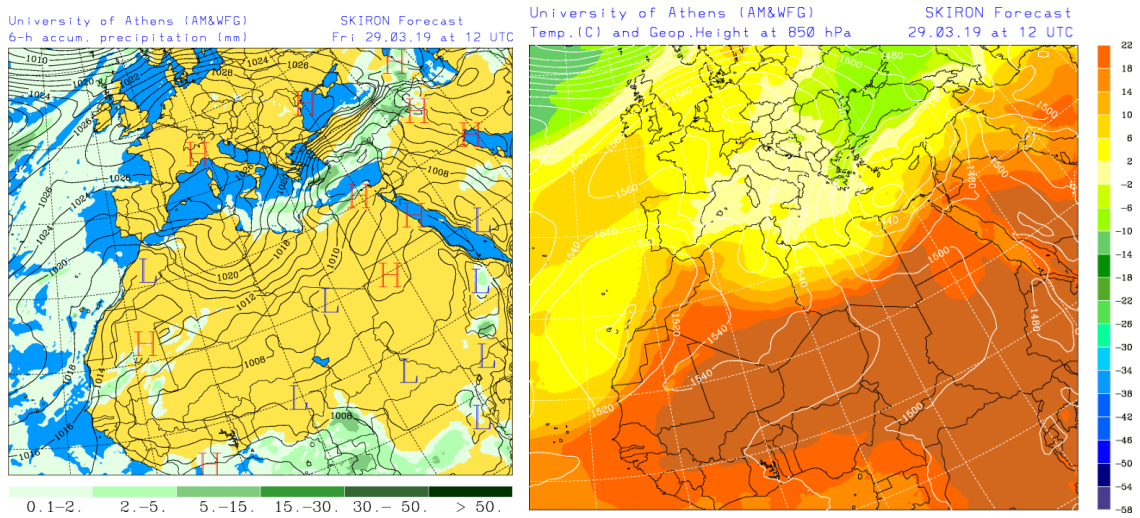


Espesor óptico de aerosoles a 550 nm (arriba) y concentración de polvo a nivel de superficie (abajo) previstos por el modelo NAAPS para el día 29 de marzo de 2019 a las 00 UTC y a las 12 UTC. ©Naval Research Laboratory (NRL), Monterey, CA.

Los mapas de carga total de polvo, así como los de presión a nivel del mar y altura geopotencial a nivel de 850 hPa proporcionados por el modelo SKIRON, muestran transporte de masas de aire africano sobre las islas Canarias y la mitad sur de la Península, favorecido por las bajas presiones predominantes sobre el norte de África y el anticiclón sobre el Mediterráneo.

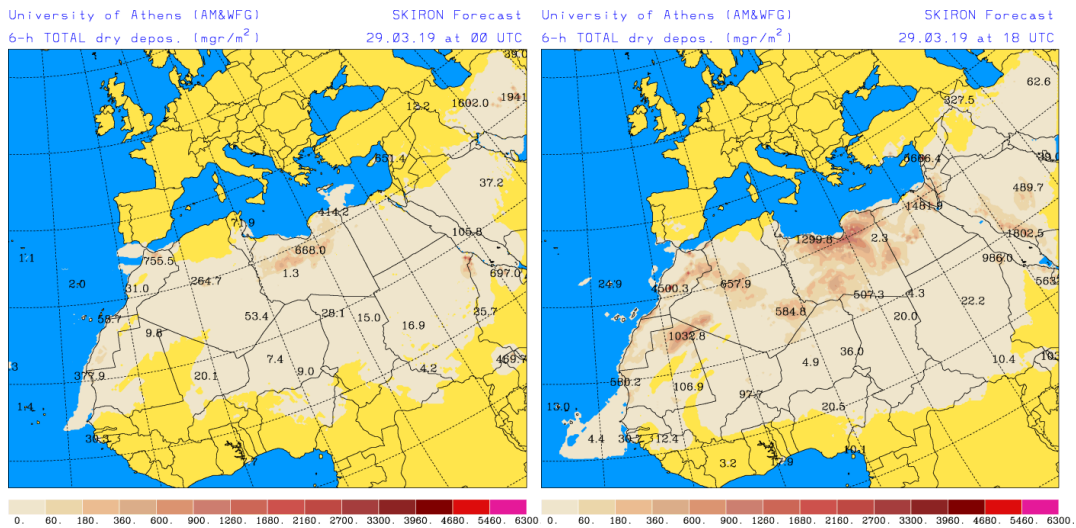


Carga total de polvo (mg/m^2) predicha por el modelo SKIRON para el día 29 de marzo de 2019 a las 00 UTC (izquierda) y a las 18 UTC (derecha). © Universidad de Atenas.

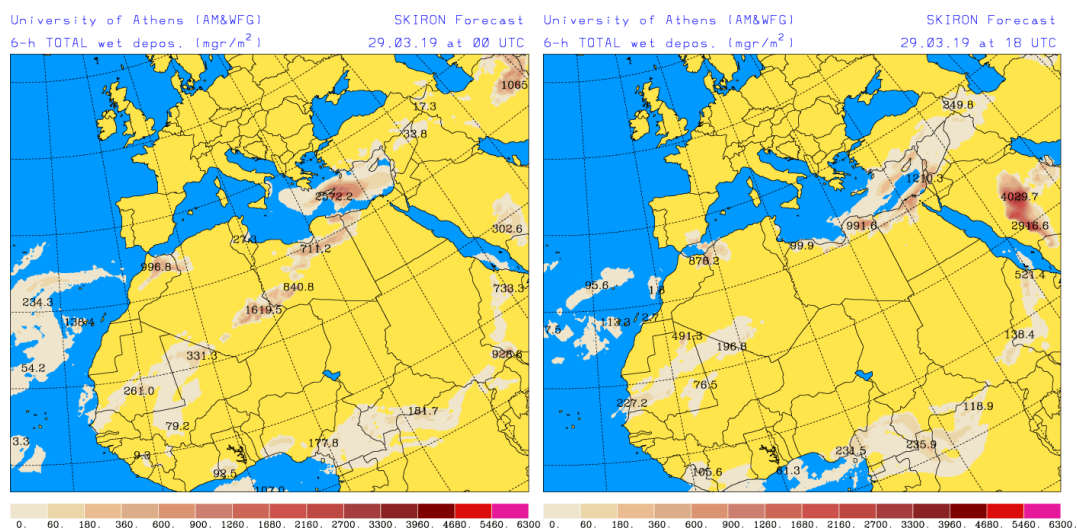


Precipitación acumulada (mm) y presión a nivel del mar (hPa) (izquierda) y campo de temperaturas (°C) y de altura geopotencial a 850 hPa (derecha) previsto por el modelo SKIRON para el día 29 de marzo de 2019 a las 12 UTC. © Universidad de Atenas.

Según el modelo SKIRON también podría producirse depósito seco y húmedo de polvo sobre las islas Canarias y el sur de la Península a lo largo del día 29 de marzo.



Depósito seco de polvo (mg/m^2) predicho por el modelo SKIRON para el día 29 de marzo de 2019 a las 00 UTC (izquierda) y a las 18 UTC (derecha). © Universidad de Atenas



Depósito húmedo de polvo (mg/m²) predicho por el modelo SKIRON para el día 29 de marzo de 2019 a las 00 UTC (izquierda) y a las 18 UTC (derecha). © Universidad de Atenas

 Fecha de elaboración de la predicción: 28 de marzo de 2019

Predicción elaborada por Noemí Pérez (IDAEA-CSIC)

Los datos son propiedad de la Dirección General de Calidad y Evaluación Ambiental, del Ministerio para la Transición Ecológica, y han sido obtenidos y se suministran en el marco del “Encargo del Ministerio para la Transición Ecológica a la Agencia Estatal Consejo Superior de Investigaciones Científicas para la detección de episodios naturales de aportes transfronterizos de partículas y otras fuentes de contaminación de material particulado, y de formación de ozono troposférico”.